

風速と風の変動性の効果

運輸省港湾技術研究所

正会員

白石 哲

同 上

正会員

上田 茂

運輸省第三港湾建設局

運輸省第二港湾建設局

出路 康夫

小島 晃

1. まえがき

運輸省では、船舶の港内運動に関する技術的検討を行っていゝが、港湾技術研究所において模型実験を行ったので、その結果を報告する。本報告では、とくに、係岸船舶の動揺に及ぼす風速の影響、風の変動性の影響、防風壁の影響等について考察した結果を記述する。模型実験には、港湾技術研究所の $25\text{m} \times 15\text{m} \times 1\text{m}$ の不規則造波水槽を用いた。定常風および変動風は水槽内に設置した送風機により発生させた。また模型船は 10,000DWT 級の貨物船の $1/30$ モデルとした。

2. 風速が船舶の動揺に及ぼす影響について。

船舶の動揺に及ぼす風速の影響を検討した。波向および風向は 90° 。つまり船舶を岸壁に対し直横に押し付ける側に作用する方向とした。風速は、 $0.0, 3.65, 4.56, 5.48, 6.39 \text{ m/s}$ (実物換算 $0, 20, 25, 30, 35 \text{ m/s}$) の 5 ケースとした。定常風で実験を行った。図-1 は、波の有義周期 2.19 秒 (実物換算 $1/2 \text{ 秒}$)、有義波高 1.67 cm (実物換算 0.5 m) のときのスウェイの動揺波形であるが、風速 0 m/s のときに船舶が岸壁から大きく離れる運動をすることがわかる。ま

た、スウェイの動揺周期は、風速 0 m/s のときには、波周期の 3~4 倍である。これに対して風速 5.48 m/s (実物換算 30 m/s) 以上では、波周期とほぼ同じ周期である。図-2 は、波の有義周期 $0.73, 1.10, 1.46, 1.83, 2.19, 2.56 \text{ 秒}$ (実物換算 $4, 6, 8, 10, 12, 14 \text{ 秒}$) に対するスウェイの動揺量の最大値である。風速が $0.0 \sim 3.65 \text{ m/s}$ (実物換算 $0 \sim 20 \text{ m/s}$) では、船舶が岸壁から大きく離れる運動をすることがわかる。これに対して風速 5.48 m/s (実物換算 30 m/s) 以上では、船舶が岸壁から離される運動は小さくなり、防舷材の圧縮側への運動が大きくなっている。以上示した現象は、筆者らが別報(その1)で述べたように、防舷材と係留索とからなる係留系の非対称性に起因する。風速が大きくなるとスウェイの動揺周期が短くなるのは、係留索の非対称性が緩和されているためである。

3. 防風壁の効果について

岸壁側から風が吹く場合については、上屋等によって風が遮蔽されることが期待される。風の遮蔽効果と船舶の動揺の変化を検討した。まず、風向 270° および 240° のケースについて、風速の平面的分布を計測した。遮蔽板は岸壁法線より -1.2 m (実物換算 36 m) および -2.0 m (実物換算 60 m) の位置に取付けた。距離が -1.2 m のケースでは、遮蔽板高さを岸壁上面より $0.2, 0.4, 0.6 \text{ m}$ (実物換算 $6, 12, 18 \text{ m}$) とし、距離が -2.0 m のケースでは、 0.4 m (実物換算 12 m) とした。図-3 は、風向 240° のケースの中央測線における風速分布である。風速の測定高度は水面上 0.33 m (実物換算 10 m) とした。遮蔽板の背後では風速の低下がみられた。ただし、遮蔽板の距離が -2.0 m のケースでは、距離が -1.2 m のケースに比べて岸壁法線付近での風速が大きくな

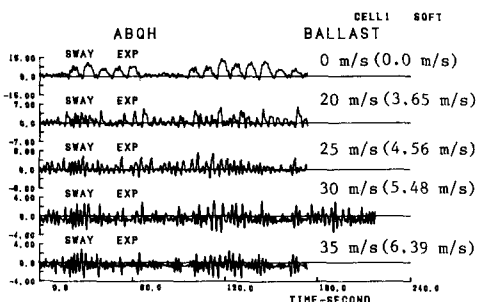


図-1 スウェイの動揺波形

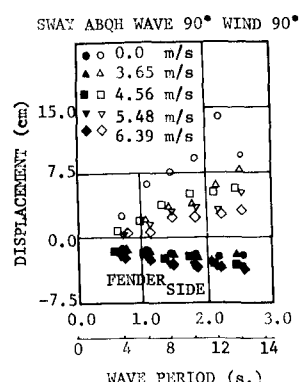


図-2 スウェイの動揆量

つては、距離が-2.0mのケースでは、岸壁法線付近で風の流線が境界層に再付着しているためと思われる。岸壁法線付近での風速の低下は遮蔽板がないケースについてもみられる。これは、岸壁前面で風の流線が境界層より離れたためと思われる。次に、遮蔽板の距離を-1.2m、遮蔽板の高さを0.2mおよび0.4mとし、波向90°、風向270°および波向60°、風向240°として船体動揺実験を行った。図-4は、スウェイの動揺量である。

図-4 スウェイの動揺量

することによって船舶が岸壁から離れる動揺量が少しあくなることがわかる。ただし、遮蔽板の高さによる船舶の動揺量の差はあまり大きくない。これは、図-3に示されるように、岸壁前面での風速が1.3～1.7%（実物換算7.1～9.3%）程度であり、遮蔽板の高さが0.2mと0.4mとは、風圧力にあまり差がないためである。波向60°、風向240°のケースでは、波向90°、風向270°のケースに比べて船舶が岸壁から離れる量が大きくなっている。これは、船首位置に遮蔽板端部から回りこんできた風が作用したためである。

4. 風速の変動性が船舶の動揺に及ぼす影響

風速の時間的な変動性が船舶の動揺に及ぼす影響を検討した。まず、風速5.48%の定常風および変動風が風向90°で作用するケースを検討した。船舶付近での風速は、定常風のケースでは5.2～6.0%（実物換算28～33%）、変動風のケースでは3.9～6.7%（実物換算21～37%）であった。定常風のケースについても送風機の性能等で風速の乱れが多少あった。図-5に示すように風速の二乗値とスウェイの防舷材を圧縮する側の動揺量との関係は、ほぼ線形である。したがって、変動風のみが作用する場合には、従来係留索の設計の際に風のガスト率を考慮して設計した方法と同様な手法を用いて防舷材の設計をしても良いと思われる。次に、波向90°、風向90°のケースで船舶の動揺を検討した。波周期は0.73～2.56秒、有義波高は1.67cmとした。図-5は、最大風速と船舶のスウェイの動揺量の最大値（防舷材圧縮側）との関係である。風のみが作用する場合と同様、最大風速の二乗値と船舶のスウェイの動揺量の最大値との関係はほぼ線形である。風速3.65%と4.65%のケースでは、多少動揺量にバラツキがみられるが、これは先に述べたように係留索の非対称性の影響が出ているものと思われる。以上の結果、風速がかなり大きい場合には、変動風についても風のガスト率を考慮して定常風と同じ取扱いで防舷材の最大圧縮量を計算してよいと思われる。ただし、風速が小さく係留索の非対称性が強いときは、船舶が防舷材から離れる量が大きいので、上述のような取扱いでは、動揺量を過小評価する恐れがあり注意を要する。

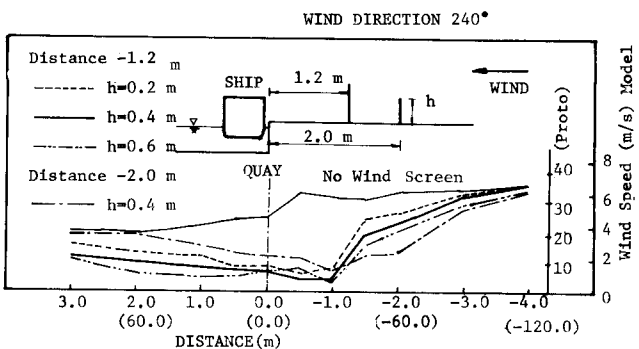


図-3 風速分布（風向240°）

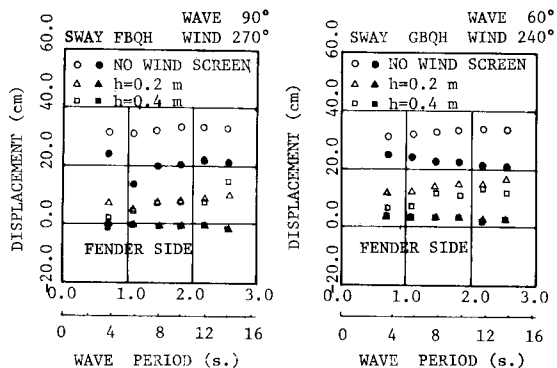


図-4 スウェイの動揺量（遮蔽板の影響）

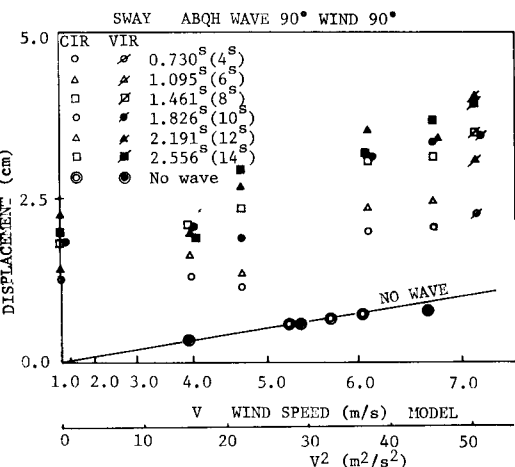


図-5 風速とスウェイの動揺量（防舷材圧縮側）
図-5は、最大風速と船舶のスウェイの動揺量の最大値（防舷材圧縮側）との関係である。風のみが作用する場合と同様、最大風速の二乗値と船舶のスウェイの動揺量の最大値との関係はほぼ線形である。風速3.65%と4.65%のケースでは、多少動揺量にバラツキがみられるが、これは先に述べたように係留索の非対称性の影響が出ているものと思われる。以上の結果、風速がかなり大きい場合には、変動風についても風のガスト率を考慮して定常風と同じ取扱いで防舷材の最大圧縮量を計算してよいと思われる。ただし、風速が小さく係留索の非対称性が強いときは、船舶が防舷材から離れる量が大きいので、上述のような取扱いでは、動揺量を過小評価する恐れがあり注意を要する。